

## Нелинейные акустические эффекты в резонаторе с насыщением гистерезисных потерь

© В.Е. Назаров, С.Б. Кияшко

Институт прикладной физики РАН,  
603950 Нижний Новгород, Россия  
e-mail: nazarov@hydro.appl.sci-nnov.ru

(Поступило в Редакцию 25 октября 2013 г. В окончательной редакции 20 февраля 2014 г.)

Проведено теоретическое исследование нелинейных волновых процессов в стержневом акустическом резонаторе с гистерезисной нелинейностью при его гармоническом возбуждении. Определены характеристики продольных нелинейных колебаний резонатора с жесткой и мягкой границами: амплитудно-зависимые потери, сдвиги резонансных частот и амплитуды второй и третьей гармоник. Из сравнения теоретических и экспериментальных зависимостей нелинейных акустических эффектов в резонаторе из отожженной поликристаллической меди определены параметры гистерезисной нелинейности этого материала.

### Введение

В работе [1] на основе анализа результатов экспериментальных исследований эффектов дислокационного амплитудно-зависимого внутреннего трения (АЗВТ) в поликристаллических твердых телах было предложено гистерезисное уравнение состояния с насыщением нелинейных потерь

$$\sigma(\varepsilon, \text{sign } \dot{\varepsilon}) = E[\varepsilon - f(\varepsilon, \text{sign } \dot{\varepsilon})], \quad (1)$$

$$f(\varepsilon, \text{sign } \dot{\varepsilon}) = \frac{1}{2(1 + \gamma_0|\varepsilon|)} \times \begin{cases} \gamma_1\varepsilon^2, & \varepsilon > 0, \dot{\varepsilon} > 0, \\ -\gamma_2\varepsilon^2 + (\gamma_1 + \gamma_2)e_m\varepsilon, & \varepsilon > 0, \dot{\varepsilon} < 0, \\ -\gamma_3\varepsilon^2, & \varepsilon < 0, \dot{\varepsilon} < 0, \\ \gamma_4\varepsilon^2 + (\gamma_3 + \gamma_4)e_m\varepsilon, & \varepsilon < 0, \dot{\varepsilon} > 0, \end{cases} \quad (2)$$

где  $\sigma$  и  $\varepsilon$  — напряжение и деформация,  $E$  — модуль упругости,  $f(\varepsilon, \text{sign } \dot{\varepsilon})$  — гистерезисная функция,  $|f(\varepsilon, \text{sign } \dot{\varepsilon})| \ll |\varepsilon|$ ,  $|f'_\varepsilon(\varepsilon, \text{sign } \dot{\varepsilon})| \ll 1$ ,  $e_m$  — амплитуда деформации,  $\gamma_0$  и  $\gamma_{1-4}$  — параметры гистерезисной нелинейности,  $\gamma_0 \geq 0$ ,  $\gamma_1 + \gamma_2 \geq 0$ ,  $\gamma_3 + \gamma_4 \geq 0$ . Из выражения (2) следует, что с ростом амплитуды  $e_m$  рост площади петли гистерезиса замедляется, с этим и связано насыщение нелинейных потерь. Кроме нелинейных потерь гистерезисная нелинейность приводит и к другим нелинейным эффектам, экспериментальное изучение их закономерностей можно использовать для определения параметров нелинейности материала.

В работе [1] были проведены теоретические исследования нелинейных эффектов, возникающих при распространении акустических волн в средах с гистерезисной нелинейностью (2), при этом было показано, что такие среды обладают нелинейной дисперсией. Более интенсивно (при прочих равных условиях) нелинейные волновые процессы протекают в резонаторах при их возбуждении на частотах, близких к резонансным, при этом

из-за отражений от границ в резонаторах устанавливаются волны, имеющие не бегущую, а стоячую структуру. В высокочастотных резонаторах амплитуда резонансных колебаний значительно превышает амплитуду колебаний излучателя и может достигать достаточно высоких значений ( $e_m \geq 10^{-6}$ ), при которых гистерезисная нелинейность поликристаллических материалов проявляется весьма заметно.

В настоящей работе проводится исследование нелинейных волновых процессов в стержневом акустическом резонаторе с гистерезисной нелинейностью при его гармоническом возбуждении. Определены характеристики продольных нелинейных колебаний резонатора с жесткой и мягкой границами: амплитудно-зависимые потери, сдвиги резонансных частот и амплитуды второй и третьей гармоник. Приведены результаты экспериментального исследования нелинейных акустических эффектов в резонаторе из отожженной поликристаллической меди. Из сравнения теоретических и экспериментальных зависимостей нелинейных эффектов определены параметры гистерезисной нелинейности этого металла.

### АЗВТ и генерация гармоник в резонаторе с гистерезисной нелинейностью

Итак, исследуем нелинейные волновые процессы в стержневом резонаторе с жесткой и мягкой границами и с гистерезисной нелинейностью (2). (С таким резонатором удобно проводить экспериментальные исследования нелинейных эффектов, при этом на жесткой границе располагается пьезокерамический излучатель акустических колебаний, а на мягкой — приемник.) Подставляя (1) в уравнение движения  $\rho U_{tt} = \sigma_x(\varepsilon, \text{sign } \dot{\varepsilon})$  [2] и учитывая линейную диссипацию и геометрическую дисперсию продольных (вдоль оси  $x$ ) акустических волн в стержне [3,4], получим одномерное волновое уравнение для продольных вдоль оси  $x$  стержня смещений

$U = U(x, t)$ :

$$U_{tt} - C_0^2 U_{xx} - v^2 r_0^2 [U_{tt} - C_t^2 U_{xx}]_{xx} = -C_0^2 [f(\varepsilon, \text{sign } \dot{\varepsilon})]_x + \alpha U_{xxt}, \quad (3)$$

где  $\varepsilon(x, t) = U_x(x, t)$  — продольная деформация,  $C_0 = (E/\rho)^{1/2}$  — скорость низкочастотной продольной волны,  $C_t$  — скорость сдвиговой волны,  $\rho$  — плотность,  $\alpha$  — коэффициент линейной диссипации,  $v$  — коэффициент Пуассона,  $r_0 = R/\sqrt{2}$ ,  $R$  — радиус стержня.

Для резонатора с жесткой ( $x = 0$ ) и мягкой ( $x = L$ ) границами граничные условия имеют вид [2]

$$U(x = 0, t) = A_0 \cos \Omega t, \quad U_x(x = L, t) = 0, \quad (4)$$

где  $A_0$  и  $\Omega$  — амплитуда и частота возбуждения резонатора,  $L$  — его длина. (При проведении экспериментальных исследований нелинейных акустических эффектов амплитуда  $A_0$  и частота  $\Omega$  колебаний границы резонатора  $x = 0$  определяются амплитудой  $u_0$  и частотой  $\Omega$  электрического напряжения на пьезокерамическом излучателе, при этом  $A_0 \propto u_0$ .)

Отметим, что в резонаторе, описываемом волновым уравнением (3) и граничными условиями (4), имеет место два вида дисперсии: геометрическая и граничная. Из уравнений (3), (4) находим линейное дисперсионное соотношение и собственные волновые числа  $K_p$  и резонансные частоты  $\Omega_p$  резонатора в низкочастотном приближении ( $\Omega/\Omega_d \ll 1$ ):

$$K(\Omega) = \frac{\Omega}{C_0} \left[ 1 + \left( \frac{\Omega}{\Omega_d} \right)^2 \right],$$

$$K_p = \frac{(2p-1)\pi}{2L} = (2p-1)K_1,$$

$$\Omega_p = \frac{\pi C_0(2p-1)}{2L} (1 - m_p), \quad (5)$$

где  $\Omega_d = \frac{2\sqrt{1-\nu}C_0}{\nu r_0}$ ,  $K_1 = \frac{\pi}{2L}$ ,  $m_p = \left( \frac{\pi \nu r_0(2p-1)}{4L\sqrt{1-\nu}} \right)^2 \ll 1$ ,  $p$  — номер моды,  $p = 1.2.3 \dots$ . Из выражений (5) видно, что при  $m_p \ll 1$  собственные числа  $K_p$  и резонансные частоты  $\Omega_p$  такого резонатора пропорциональны нечетным числам  $2p-1$ , поэтому  $2\Omega_p \neq \Omega_{p+1}, \Omega_{2p}$ , но  $3\Omega_p \cong \Omega_{3p-1}$ . Таким образом, при возбуждении в нелинейном резонаторе с жесткой и мягкой границами колебаний на частоте  $\Omega \approx \Omega_p$  возникающие в нем колебания на частоте  $2\Omega \approx 2\Omega_p$  будут нерезонансными (из-за граничной дисперсии), а на частоте  $3\Omega \cong 3\Omega_p$  — близкими к резонансным (из-за слабой геометрической дисперсии).

Для решения системы уравнений (1)–(4) используем замену

$$V(x, t) = U(x, t) - A_0 \cos \Omega t, \quad (6)$$

при которой граничные условия для  $V(x, t)$  становятся нулевыми

$$V(x = 0, t) = 0, \quad V_x(x = L, t) = 0. \quad (7)$$

Будем рассматривать вынужденные колебания резонатора вблизи резонанса моды с номером  $p$ , когда почти на всей длине резонатора, за исключением области вблизи излучателя, выполняется условие  $|U(x, t)|, |V(x, t)| \gg A_0$ . Подставляя (6) в (4), получим волновое уравнение, в правой части которого находятся слагаемые, описывающие нелинейность, линейную диссипацию и внешнюю силу:

$$V_{tt} - C_0^2 V_{xx} - v^2 r_0^2 [V_{tt} - C_t^2 V_{xx}]_{xx} = -C_0^2 [f(V_x, \text{sign } V_{xt})]_x + \alpha V_{xxt} + A_0 \Omega^2 \cos \Omega t. \quad (8)$$

Считая эти слагаемые малыми, будем искать решение уравнения (8) в виде, близком к решению однородного уравнения:

$$V(x, t) = V_1(x, t) + W(x, t), \quad (9)$$

где

$$V_1(x, t) = V_0 \sin K_p x \cos \vartheta,$$

$$W(x, t) = \sum_{n=2}^{\infty} V^{(n)}(x, t) = \sum_{n=2}^{\infty} V_n(x) \sin(n\vartheta + \varphi_n)$$

— малая поправка,  $|W(x, t)| \ll |V_1(x, t)|$ ,  $|W_x(x, t)| \ll |V_{1x}(x, t)|$ ,  $\vartheta = (\Omega_p + \delta)t + \varphi_1$ ,  $V_0, \varphi_1$  — амплитуда и фаза колебаний на частоте  $\Omega$ ,  $V_n(x)$  и  $\varphi_n$  — амплитуда и фаза колебаний на частоте  $n\Omega$ ,  $\delta = \Omega - \Omega_p$ ,  $|\delta| \ll \Omega_p/p$ .

Из выражения (9) следует, что

$$\varepsilon(x, t) = \varepsilon_1(x, t) + W_x(x, t) = \varepsilon_m \cos K_p x \cos \vartheta + \sum_{n=2}^{\infty} V_{nx}(x) \sin(n\vartheta + \varphi_n), \quad (10)$$

где  $\varepsilon_1(x, t) = V_{1x}(x, t) = \varepsilon_m \cos K_p x \cos \vartheta$ ,  $\varepsilon_m = V_0 K_p$  — амплитуда деформации в резонаторе на частоте  $\Omega = \Omega_p + \delta$ , при этом амплитуда деформации  $e_m$  в уравнении (2) определяется выражением  $e_m = \varepsilon_m |\cos K_p x|$ .

Подставляя (9), (10) в (8), получим неоднородное уравнение для  $W(x, t)$ , удовлетворяющее нулевым граничным условиям  $W(x = 0, t) = W_x(x = L, t) = 0$ :

$$W_{tt} - C_0^2 W_{xx} - v^2 r_0^2 [W_{tt} - C_t^2 W_{xx}]_{xx} - \alpha W_{xxt} = -C_0^2 [f(\varepsilon, \text{sign } \dot{\varepsilon})]_x + \alpha \Omega_p K_p^2 V_0 \sin K_p x \sin \vartheta + 2\delta \Omega_p V_0 \sin K_p x \cos \vartheta + A_0 \Omega_p^2 \cos(\vartheta - \varphi_1). \quad (11)$$

Чтобы решение уравнения (11) не нарастало во времени, должно выполняться условие ортогональности его правой части собственным функциям  $\sin K_p x$  оператора, стоящего в левой части. Это эквивалентно отсутствию в правой части уравнения (11) фурье-компонент с волновым числом  $K_p$  и частотой  $\Omega$ . В общем виде, однако, получить аналитическое решение уравнения (11) не удается, поэтому далее мы рассмотрим два предельных

случая:  $\gamma_0 \varepsilon_m \ll 1$  и  $\gamma_0 \varepsilon_m \gg 1$ . В этих режимах удается получить выражения для характеристик нелинейных колебаний резонатора: амплитудно-зависимых потерь и сдвига резонансной частоты, амплитуд второй и третьей гармоник частоты накачки.

### Малоамплитудный режим ( $\gamma_0 \varepsilon_m \ll 1$ )

Вначале рассмотрим малоамплитудный режим возбуждения резонатора ( $\gamma_0 \varepsilon_m \ll 1$ ), когда  $\frac{1}{1+\gamma_0|\varepsilon|} \approx 1 - \gamma_0|\varepsilon|$  и гистерезисную функцию  $f(\varepsilon, \text{sign } \dot{\varepsilon})$  можно представить в виде

$$f(\varepsilon, \text{sign } \dot{\varepsilon}) \cong \frac{1 - \gamma_0|\varepsilon|}{2} \times \begin{cases} \gamma_1 \varepsilon^2, & \varepsilon > 0, \dot{\varepsilon} > 0, \\ -\gamma_2 \varepsilon^2 + (\gamma_1 + \gamma_2) \varepsilon_m \varepsilon, & \varepsilon > 0, \dot{\varepsilon} < 0, \\ -\gamma_3 \varepsilon^2, & \varepsilon < 0, \dot{\varepsilon} < 0, \\ \gamma_4 \varepsilon^2 + (\gamma_3 + \gamma_4) \varepsilon_m \varepsilon, & \varepsilon < 0, \dot{\varepsilon} > 0, \end{cases} \quad (12)$$

Для решения задачи о самовоздействии волны в резонаторе, т.е. для определения амплитуды  $\varepsilon_m$  деформации в резонаторе на частоте возбуждения  $\Omega$ , выделим в правой части уравнения (11) колебания на собственной моде с номером  $p$  и с частотой  $\Omega$  (учитывая, что  $|\varepsilon_1(x, t)| \gg |W_x(x, t)|$  и  $\varepsilon(x, t) \cong \varepsilon_1(x, t)$ ). Для этого умножим правую часть уравнения (11) на  $\sin K_p x$  — собственную функцию резонатора и проинтегрируем ее по  $x$  от 0 до  $L$ , при этом для нелинейной функции имеем

$$\int_0^L \int_0^{2\pi} [f(\varepsilon_1, \text{sign } \dot{\varepsilon}_1)]_x \sin K_p x \begin{pmatrix} \cos \vartheta \\ \sin \vartheta \end{pmatrix} dx d\vartheta = -\pi L \left\{ \varepsilon_m^2 K_p \begin{pmatrix} a_1 \\ b_1 \end{pmatrix} - \gamma_0 \varepsilon_m^3 K_p \begin{pmatrix} c_1 \\ d_1 \end{pmatrix} \right\}, \quad (13)$$

где

$$a_1 = \frac{4}{9\pi^2} (\gamma_1 - \gamma_2 + \gamma_3 - \gamma_4) + \frac{1}{6\pi} (\gamma_1 + \gamma_2 + \gamma_3 + \gamma_4),$$

$$b_1 = \frac{1}{9\pi^2} (\gamma_1 + \gamma_2 + \gamma_3 + \gamma_4),$$

$$c_1 = \frac{9}{256} (\gamma_1 - \gamma_2 + \gamma_3 - \gamma_4) + \frac{1}{8\pi} (\gamma_1 + \gamma_2 + \gamma_3 + \gamma_4),$$

$$d_1 = \frac{1}{64\pi} (\gamma_1 + \gamma_2 + \gamma_3 + \gamma_4).$$

Приравнявая соответствующие фурье-компоненты по  $\vartheta$  в правой части получившегося уравнения к нулю, получим уравнения для определения амплитуды  $\varepsilon_m$  на частоте  $\Omega$

$$a_1 \varepsilon_m^2 \Omega_p - c_1 \gamma_0 \varepsilon_m^3 \Omega_p + \delta \varepsilon_m = -[\Omega_p A_0 / L] \cos \varphi_1, \quad (14)$$

$$b_1 \varepsilon_m^2 \Omega_p - d_1 \gamma_0 \varepsilon_m^3 \Omega_p + \alpha \Omega_p^2 \varepsilon_m / 2C_0^2 = -[\Omega_p A_0 / L] \sin \varphi_1. \quad (15)$$

Из этих уравнений находим резонансную кривую резонатора и выражения для нелинейных сдвига резонансной частоты  $\delta_{nl} = \delta_{nl}(\varepsilon_m)$  и коэффициента потерь  $\mu_{nl} = \mu_{nl}(\varepsilon_m)$ :

$$\varepsilon_m = \frac{A_0 \Omega_0 / L}{\left[ \delta - \delta_{nl}(\varepsilon_m) \right]^2 + \frac{\Omega_0^2}{4} [\mu_p + \mu_{nl}(\varepsilon_m)]^2}^{1/2}, \quad (16)$$

$$\delta_{nl}(\varepsilon_m) = -a_1 \varepsilon_m [1 - \gamma_0 (c_1 / a_1) \varepsilon_m] \Omega_p,$$

$$\mu_{nl}(\varepsilon_m) = 2b_1 \varepsilon_m [1 - \gamma_0 (d_1 / b_1) \varepsilon_m] \Omega_p^{-1}, \quad (17)$$

где  $\mu_p = \alpha / C_0^2 = (\Omega_p Q_p)^{-1}$  и  $Q_p$  — коэффициент линейных потерь и добротность резонатора на частоте  $\Omega_p$ . Вследствие нелинейности резонатора зависимость  $\varepsilon_m = \varepsilon_m(A_0)$  является нелинейной и неявной, при этом максимальная амплитуда  $\varepsilon_m$  деформации имеет место при резонансе, когда  $\delta = \delta_{nl}(\varepsilon_m)$ :

$$\varepsilon_m = \frac{2A_0 Q_p / L}{1 + \mu_{nl}(\varepsilon_m) / \mu_p}. \quad (18)$$

Для определения амплитуды колебаний  $V^{(2)}(x, t)$  в резонаторе на частоте  $2\Omega$  найдем фурье-компоненты гистерезисной функции  $f(\varepsilon_1, \text{sign } \dot{\varepsilon})$  на этой частоте

$$\frac{1}{\pi} \int_0^{2\pi} f(\varepsilon_1, \text{sign } \dot{\varepsilon}_1) \begin{pmatrix} \cos 2\vartheta \\ \sin 2\vartheta \end{pmatrix} d\vartheta = \begin{pmatrix} a_2 \\ b_2 \end{pmatrix} \varepsilon_m^2 \cos^2 K_p x - \begin{pmatrix} c_2 \\ d_2 \end{pmatrix} \gamma_0 \varepsilon_m^3 |\cos^3 K_p x|, \quad (19)$$

где

$$a_2 = \frac{1}{16} (\gamma_1 - \gamma_2 - \gamma_3 + \gamma_4) + \frac{1}{6\pi} (\gamma_1 + \gamma_2 - \gamma_3 - \gamma_4),$$

$$b_2 = \frac{1}{12\pi} (\gamma_1 + \gamma_2 - \gamma_3 - \gamma_4),$$

$$c_2 = \frac{1}{5\pi} (\gamma_1 - \gamma_2 - \gamma_3 + \gamma_4) + \frac{1}{16} (\gamma_1 + \gamma_2 - \gamma_3 - \gamma_4),$$

$$d_2 = \frac{1}{20\pi} (\gamma_1 + \gamma_2 - \gamma_3 - \gamma_4).$$

Уравнение для смещений  $V^{(2)}(x, t)$  имеет вид

$$V_{tt}^{(2)} - C_0^2 V_{xx}^{(2)} - v^2 r_0^2 [V_{tt}^{(2)} - C_t^2 V_{xx}^{(2)}]_{xx} - \alpha V_{xxt}^{(2)} = -C_0^2 (\varepsilon_m^2 \cos^2 K_p x [a_2 \cos 2\vartheta + b_2 \sin 2\vartheta] - \gamma_0 \varepsilon_m^3 |\cos^3 K_p x| [c_2 \cos 2\vartheta + d_2 \sin 2\vartheta])_x. \quad (20)$$

Для резонатора с жесткой и мягкой границами при резонансной накачке ее вторая гармоника не является резонансной (из-за граничной дисперсии), поэтому дисперсионным и диссипативным слагаемыми в уравнении (20) можно пренебречь. Решение уравнения (20) будем искать в виде суммы двух слагаемых:

$$V^{(2)}(x, t) = V^{(21)}(x, t) + V^{(22)}(x, t) = V_{21}(x) \sin(2\vartheta + \varphi_{21}) + V_{22}(x) \sin(2\vartheta + \varphi_{22}), \quad (21)$$

где смещения  $V^{(21)}(x, t)$  и  $V^{(22)}(x, t)$  определяются первым и вторым слагаемыми правой части уравнения (20), при этом  $V^{(21)}(x = 0, t) = V^{(22)}(x = 0, t) = 0$ ,  $V_x^{(21)}(x = L, t) = V_x^{(22)}(x = L, t) = 0$ . Из уравнения (20) получаем выражения для амплитуд  $V_{21}(x)$  и  $V_{22}(x)$ :

$$V_{21}(x) = \frac{(a_2^2 + b_2^2)^{1/2} \varepsilon_m^2}{8K_p} (\sin 2K_p x - 2K_p x \cos 2K_p x),$$

$$\operatorname{tg} \varphi_{21} = a_2/b_2, \quad (22)$$

$$V_{22}(x) = \frac{(c_2^2 + d_2^2)^{1/2} \gamma_0 \varepsilon_m^3}{4K_p} \left( \left( \sin K_p x - \frac{3}{5} \sin 3K_p x \right) \times \operatorname{sign}(\cos K_p x) - \frac{16}{5} \left[ \frac{1}{2} + \frac{K_p x}{\pi} \right] \cos 2K_p x \right),$$

$$\operatorname{tg} \varphi_{22} = c_2/d_2, \quad (23)$$

где в выражении для амплитуды  $V_{22}(x)$  квадратные скобки означают целую часть числа  $\frac{1}{2} + \frac{K_p x}{\pi}$ . Из выражений (21)–(23) находим амплитуду смещения  $V_2(L)$  свободной границы резонатора на частоте  $2\Omega$

$$V_2(L) = V_{21}(L) + V_{22}(L) \cos(\varphi_{21} - \varphi_{22})$$

$$= \frac{(a_2^2 + b_2^2)^{1/2}}{4} \left[ 1 - \frac{16\gamma_0}{5\pi} \frac{a_2 c_2 + b_2 d_2}{a_2^2 + b_2^2} \varepsilon_m \right] \varepsilon_m^2 L. \quad (24)$$

Аналогичным образом получается уравнение для смещения  $V^{(3)}(x, t)$  на частоте третьей гармоники

$$V_{tt}^{(3)} - C_0 V_{xx}^{(3)} - v^2 r_0^2 [V_{tt}^{(3)} - C_t^2 V_{xx}^{(3)}]_{xx} - \alpha V_{xxt}^{(3)}$$

$$= -C_0^2 \langle f(\varepsilon_1, \operatorname{sign} \dot{\varepsilon}_1) \rangle_{3\vartheta} + \langle [f'_\varepsilon(\varepsilon_1, \operatorname{sign} \dot{\varepsilon}_1)]_0 V_x^{(3)} \rangle_x$$

$$= -C_0^2 (\varepsilon_m^2 \cos K_p x | \cos K_p x | [a_3 \cos 3\vartheta + b_3 \sin 3\vartheta] - \gamma_0 \varepsilon_m^3 \cos^3 K_p x [c_3 \cos 3\vartheta + d_3 \sin 3\vartheta]) x$$

$$- C_0^2 ([a_0 \varepsilon_m | \cos K_p x | - \gamma_0 c_0 \varepsilon_m^2 \cos^2 K_p x] V_x^{(3)})_x, \quad (25)$$

где

$$\langle f(\varepsilon_1, \operatorname{sign} \dot{\varepsilon}_1) \rangle_{3\vartheta} = \varepsilon_m^2 \cos K_p x | \cos K_p x | [a_3 \cos 3\vartheta + b_3 \sin 3\vartheta] - \gamma_0 \varepsilon_m^3 \cos^3 K_p x [c_3 \cos 3\vartheta + d_3 \sin 3\vartheta],$$

$$\langle f'_\varepsilon(\varepsilon_1, \operatorname{sign} \dot{\varepsilon}_1) \rangle_0 = \frac{1}{2\pi} \int_0^{2\pi} f'_\varepsilon(\varepsilon_1, \operatorname{sign} \dot{\varepsilon}_1) d\vartheta$$

$$= a_0 \varepsilon_m | \cos K_p x | - \gamma_0 c_0 \varepsilon_m^2 \cos^2 K_p x,$$

$$a_3 = \frac{1}{15\pi} (\gamma_1 - \gamma_2 + \gamma_3 - \gamma_4),$$

$$b_3 = \frac{1}{60\pi} (\gamma_1 + \gamma_2 + \gamma_3 + \gamma_4),$$

$$c_3 = \frac{1}{15\pi} (\gamma_1 + \gamma_2 + \gamma_3 + \gamma_4) + \frac{1}{32} (\gamma_1 - \gamma_2 + \gamma_3 - \gamma_4),$$

$$d_3 = \frac{1}{40\pi} (\gamma_1 + \gamma_2 + \gamma_3 + \gamma_4),$$

$$a_0 = (\gamma_1 - \gamma_2 + \gamma_3 - \gamma_4)/2\pi + (\gamma_1 + \gamma_2 + \gamma_3 + \gamma_4)/8,$$

$$c_0 = (3/16)(\gamma_1 - \gamma_2 + \gamma_3 - \gamma_4)$$

$$+ (1/2\pi)(\gamma_1 + \gamma_2 + \gamma_3 + \gamma_4).$$

Частота третьей гармоники  $3(\Omega_p + \delta_{nl})$  в отличие от второй близка к резонансной частоте  $\Omega_{3p-1}$ , поэтому решение уравнения (25) будем искать в виде собственной моды резонатора с номером  $3p - 1$ :

$$V^{(3)}(x, t) = V_3 \sin K_{3p-1} x \sin(3\vartheta + \varphi_3), \quad (26)$$

где  $V_3, \varphi_3 = \text{const}$ .

Умножая уравнение (25) на  $\sin K_{3p-1} x$  и интегрируя его по  $x$  от 0 до  $L$ , находим выражение для амплитуды деформации  $\varepsilon_3 = K_{3p-1} V_3 = 3K_p V_3$  колебаний на частоте  $3\Omega$  при резонансном возбуждении на основной частоте

$$\varepsilon_3 = \frac{8\sqrt{a_3^2 + b_3^2} (1 - \frac{15\pi}{32} \gamma_0 g \varepsilon_m) \varepsilon_m^2 \Omega_p}{5\pi [(3\Omega_p / Q_{3p-1})^2 + 4\{3(1-q)\delta_{nl}(\varepsilon_m) + \Delta\Omega_{3p-1}\}]^{1/2}}, \quad (27)$$

где

$$q = \frac{36a_0}{35\pi a_1} \left[ 1 + \gamma_0 \varepsilon_m \left( \frac{c_1}{a_1} - \frac{35\pi}{144} \frac{c_0}{a_0} \right) \right],$$

$$g = \frac{a_3 c_3 + b_3 d_3}{a_3^2 + b_3^2}, \quad \Delta\Omega_{3p-1} = 3\Omega_p - \Omega_{3p-1}$$

— дисперсионная расстройка частоты  $3\Omega_p$  от соответствующего резонанса  $\Omega_{3p-1}$ , связанная с линейной дисперсией волн в стержне и отличаем граничных условий резонатора от идеальных.

В этом режиме вначале, когда  $\gamma_0 \varepsilon_m \ll 1$ , имеют место следующие зависимости:  $\delta_{nl}(\varepsilon_m), \mu_{nl}(\varepsilon_m) \propto \varepsilon_m$ ,  $V_2(L), \varepsilon_3 \propto \varepsilon_m^2$ , а затем при увеличении  $\varepsilon_m$  должны наблюдаться отклонения от них, в частности, для  $\delta_{nl}(\varepsilon_m)$  (при  $c_1/a_1 > 0$ ) и  $\mu_{nl}(\varepsilon_m)$  — в сторону насыщения. Здесь в резонаторе нелинейная дисперсия гистерезисного материала [1] проявляется в нелинейной расстройке  $\Delta\Omega_{3p, nl}(\varepsilon_m) = 3(1-q)\delta_{nl}(\varepsilon_m)$  частоты третьей гармоники от соответствующего линейного резонанса.

### Сильноамплитудный режим ( $\gamma_0 \varepsilon_m \gg 1$ )

В сильноамплитудном режиме, когда на большей части резонатора и на большей части периода волны для деформации  $\varepsilon(x, t)$  выполняется условие  $\gamma_0 |\varepsilon| \gg 1$  и  $\frac{1}{1+\gamma_0|\varepsilon|} \cong \frac{1}{\gamma_0|\varepsilon|}$ , гистерезисная функция (2) имеет вид

$$f(\varepsilon, \operatorname{sign} \varepsilon) = \frac{1}{2\gamma_0}$$

$$\times \begin{cases} \gamma_1 \varepsilon, & \varepsilon > 0, \dot{\varepsilon} > 0, \\ -\gamma_2 \varepsilon + (\gamma_1 + \gamma_2) e_m, & \varepsilon > 0, \dot{\varepsilon} < 0, \\ \gamma_3 \varepsilon, & \varepsilon < 0, \dot{\varepsilon} < 0, \\ -\gamma_4 \varepsilon - (\gamma_3 + \gamma_4) e_m, & \varepsilon < 0, \dot{\varepsilon} > 0. \end{cases} \quad (28)$$

В этом случае задача о нелинейных колебаниях резонатора решается так же, как и в малоамплитудном режиме: резонансная кривая резонатора и максимальная амплитуда  $\varepsilon_m$  деформации определяются теми же уравнениями (16) и (18), а характеристики колебаний — следующими выражениями:

$$\delta_{nl}(\varepsilon_m) = -a_1 \Omega_p = \text{const}, \quad \mu_{nl}(\varepsilon_m) = b_1 \Omega_p^{-1} = \text{const}, \quad (29)$$

$$V_2(x) = \frac{2(a_2^2 + b_2^2)^{1/2} \varepsilon_m L}{3\pi(2p-1)} \left( \text{sign}(\cos K_p x) \sin K_p x - 2 \left[ \frac{1}{2} + \frac{K_p x}{\pi} \right] \cos 2K_p x \right), \quad (30)$$

$$V_2(L) = \frac{2(a_2^2 + b_2^2)^{1/2} \varepsilon_m L}{3\pi}, \quad \text{tg } \varphi_2 = \frac{a_2}{b_2}, \quad \varepsilon_3 = 0, \quad (31)$$

где

$$a_1 = \frac{1}{4\pi\gamma_0} \left( \gamma_1 + \gamma_2 + \gamma_3 + \gamma_4 + \frac{\gamma_1 - \gamma_2 + \gamma_3 - \gamma_4}{4} \right),$$

$$b_1 = \frac{\gamma_1 + \gamma_2 + \gamma_3 + \gamma_4}{4\pi\gamma_0},$$

$$a_2 = \frac{\gamma_1 - \gamma_2 - \gamma_3 + \gamma_4}{6\pi\gamma_0},$$

$$b_2 = \frac{\gamma_1 + \gamma_2 - \gamma_3 - \gamma_4}{6\pi\gamma_0}.$$

(В выражении (30) квадратные скобки также означают целую часть числа  $\frac{1}{2} + \frac{K_p x}{\pi}$ .)

Отметим, что в сильно-амплитудном режиме имеют место следующие зависимости:  $\delta_{nl}(\varepsilon_m) = \text{const}$ ,  $\mu_{nl}(\varepsilon_m) = \text{const}$ ,  $V_2(L) \propto \varepsilon_m$ , а  $\varepsilon_3 = 0$ . Все они связаны с насыщением гистерезисной нелинейности:  $f(\varepsilon, \text{sign } \dot{\varepsilon}) \propto (\gamma_{1-4}/\gamma_0)\varepsilon$ . В этом режиме нелинейная дисперсия приводит к тому, что вынуждающая сила для колебаний  $V^{(3)}(x, t)$  в резонаторе с жесткой и мягкой границами пропорциональна  $\cos 3K_p x$ , а собственной функцией такого резонатора является  $\sin K_{3p-1} x = \sin 3K_p x$ , т.е. для колебаний  $V^{(3)}(x, t)$  правая часть уравнения (11) ортогональна собственной функции этого уравнения, поэтому  $\varepsilon_3 = 0$ .

## Нелинейные эффекты АЗВТ в резонаторе из отожженной меди

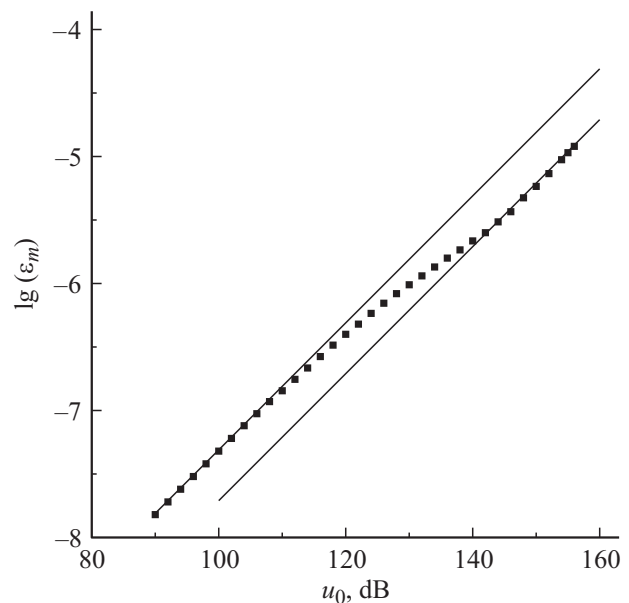
Эффекты гистерезисной нелинейности наблюдаются во многих поликристаллических материалах: металлах, сплавах, горных породах, причем часто в разных материалах они проявляются по-разному. В некоторых металлах, например в отожженной меди, даже в области не очень больших деформаций ( $\varepsilon_m < 10^{-5}$ ) имеет место насыщение гистерезисных потерь. Здесь приведены результаты экспериментальных исследований нелинейных акустических эффектов АЗВТ в резонаторе из отожженной поликристаллической меди. Эксперимент

проводился со стержневым резонатором с жесткой и мягкой границами. Длина стержня  $L$  составляла 30 см, его диаметр — 8 мм.

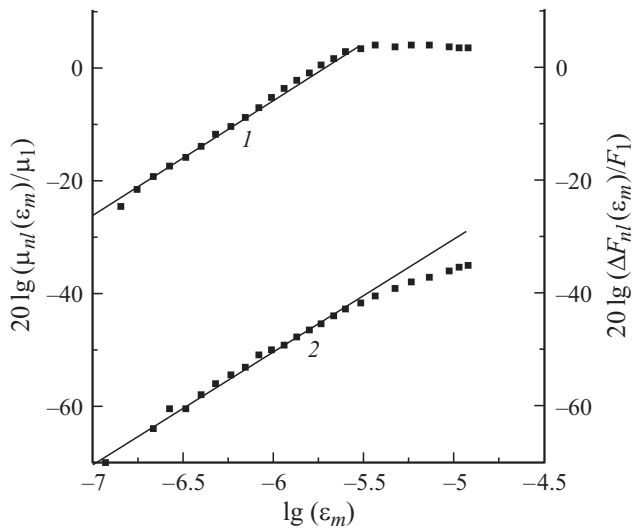
Температура отжига стержня — 800°C, время отжига около 4 ч. Резонансные частоты  $F_p = \Omega_p/2\pi$  и добротности  $\Omega_p$  первой и второй продольных мод резонатора составляли:  $F_1 \approx 3210$  Hz,  $Q_1 \approx 210$  и  $F_2 \approx 9435$  Hz,  $Q_2 \approx 165$ . Резонансная частота  $F_1 \approx 3210$  Hz соответствует тому, что скорость  $C_0$  низкочастотной продольной волны в стержне равна  $3.8 \cdot 10^5$  cm/s. Измерения нелинейных эффектов проводились при возбуждении резонатора на его первой моде ( $p = 1$ ). На рис. 1 показан график зависимости амплитуды деформации  $\varepsilon_m$  стержня (в резонансе) от амплитуды  $u_0$  электрического напряжения на пьезокерамическом излучателе ( $u_0$  в дБ относительно  $1 \mu\text{V}$ ,  $u_0 \propto A_0$ ). Из рис. 1 следует, что при малых деформациях ( $\varepsilon_m \leq 2 \cdot 10^{-7}$ ) имеет место линейная зависимость  $\varepsilon_m$  от  $u_0$  (т.е.  $\varepsilon_m \propto u_0$ ), затем при  $2 \cdot 10^{-7} < \varepsilon_m \leq 2 \cdot 10^{-6}$  зависимость  $\varepsilon_m = \varepsilon_m(u_0)$  становится нелинейной, а при  $\varepsilon_m > 2 \cdot 10^{-6}$  опять наблюдается линейная зависимость  $\varepsilon_m \propto u_0$ . Такое поведение  $\varepsilon_m$  от  $u_0$  свидетельствует о наличии нелинейных потерь в резонаторе и их насыщении. Из выражения (18) и экспериментальной зависимости  $\varepsilon_m = \varepsilon_m(A_0)$  (рис. 1) определим соответствующую ей зависимость  $\mu_{nl} = \mu_{nl}(\varepsilon_m)$ . Учитывая, что  $u_0 \propto A_0$ , из выражения (18) получаем формулу для определения нелинейных потерь

$$\frac{\mu_{nl}(\varepsilon_m)}{\mu_p} = \frac{\varepsilon_{m,1}}{\varepsilon_m} \frac{u_0}{u_{0,1}} - 1, \quad (32)$$

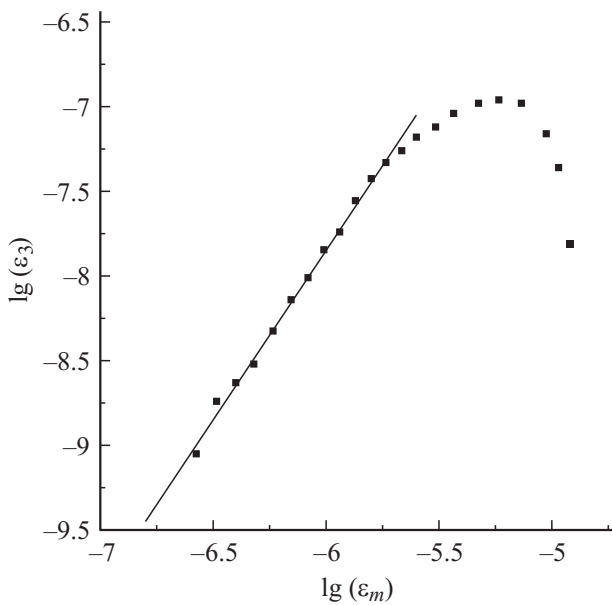
где  $\varepsilon_{m,1}$  и  $u_{0,1}$  — начальные экспериментальные значения амплитуды деформации стержня и амплитуды напряжения на излучателе, когда эффекты АЗВТ пренебрежимо



**Рис. 1.** Зависимость амплитуды  $\varepsilon_m$  (в резонансе) от амплитуды электрического напряжения  $u_0$  на излучателе (в децибелах относительно  $1 \mu\text{V}$ ). Прямые линии соответствуют линейным зависимостям  $\varepsilon_m \propto u_0$ .



**Рис. 2.** Зависимости  $\mu_{nl}(\varepsilon_m)/\mu_1$  (1) и  $|\Delta F_{nl}(\varepsilon_m)|/F_1$  (2) от амплитуды  $\varepsilon_m$ . Прямые линии соответствуют линейным зависимостям  $|\Delta F_{nl}(\varepsilon_m)|/F_1$  и  $\mu_{nl}(\varepsilon_m)/\mu_1$  от  $\varepsilon_m$ .



**Рис. 3.** Зависимость амплитуды третьей гармоники  $\varepsilon_3$  от резонансной амплитуды  $\varepsilon_m$ . Прямая линия соответствует квадратичной зависимости  $\varepsilon_3$  от  $\varepsilon_m$ .

малы и  $\varepsilon_m \propto A_0 \propto u_0$ , а  $\varepsilon_m$  и  $u_0$  — текущие значения амплитуды деформации стержня и амплитуды напряжения на излучателе, когда эффекты АЗВТ проявляются вполне заметно,  $\varepsilon_m > \varepsilon_{m,1}$ ,  $u_0 > u_{0,1}$ . Зависимость  $\mu_{nl}(\varepsilon_m)/\mu_1$  от  $\varepsilon_m$  приведена на рис. 2. На этом же рисунке приведена зависимость  $|\Delta F_{nl}(\varepsilon_m)|/F_1$  от  $\varepsilon_m$ , где  $\Delta F_{nl}(\varepsilon_m) = 2\pi\delta_{nl}(\varepsilon_m) < 0$ . Из рис. 2 видно, что вначале (при  $\varepsilon_m \leq 4 \cdot 10^{-6}$ )  $\mu_{nl}(\varepsilon_m) \propto \varepsilon_m$ ,  $\Delta F_{nl}(\varepsilon_m) \propto \varepsilon_m$ , а затем (при  $\varepsilon_m > 4 \cdot 10^{-6}$ )  $\mu_{nl}(\varepsilon_m)$  и  $\Delta F_{nl}(\varepsilon_m)$  стремятся к насыщению. Это соответствует теоретическим зависимостям (17), (29). При достаточно большой амплитуде

де  $\varepsilon_m > 3 \cdot 10^{-7}$  в резонаторе наблюдалась генерация третьей гармоники. (Уровень второй гармоники из-за ее „нерезонансности“ был мал и недостаточен для надежного измерения.) На рис. 3 приведена зависимость амплитуды третьей гармоники  $\varepsilon_3$  от резонансной амплитуды  $\varepsilon_m$ . Из этого рисунка видно, что зависимость  $\varepsilon_3$  от  $\varepsilon_m$  немонотонна, при этом можно выделить три диапазона по амплитуде  $\varepsilon_m$ , в которых имеют место следующие зависимости: в первом ( $3 \cdot 10^{-7} \leq \varepsilon_m \leq 4 \cdot 10^{-6}$ ) —  $\varepsilon_3 \propto \varepsilon_m^2$ , во втором ( $4 \cdot 10^{-6} \leq \varepsilon_m \leq 8 \cdot 10^{-6}$ )  $\varepsilon_3 \approx \text{const}$  и в третьем ( $8 \cdot 10^{-6} \leq \varepsilon_m \leq 10^{-5}$ )  $\varepsilon_3$  сильно уменьшается. Такое поведение  $\varepsilon_3$  качественно соответствует теоретическим зависимостям (27), (31). Из сравнения теоретических и экспериментальных результатов можно определить значения параметров гистерезисной нелинейности (2). По измеренным нелинейным потерям и сдвигу резонансной частоты в малоамплитудном режиме находим  $a_1 \approx 3 \cdot 10^3$ ,  $b_1 \approx 1.2 \cdot 10^3$ ,  $\gamma_1 + \gamma_3 \approx 2.4 \cdot 10^4$ ,  $\gamma_2 + \gamma_4 \approx 8 \cdot 10^4$ ,  $\sqrt{a_3^2 + b_3^2} \approx 3.8 \cdot 10^3$ . Значение последнего коэффициента можно независимо определить по амплитуде третьей гармоники из выражения (27), при этом он оказывается равным  $\sqrt{a_3^2 + b_3^2} \approx 3.7 \cdot 10^3$ , что достаточно близко к значению  $\sqrt{a_3^2 + b_3^2}$ , определенному по нелинейным потерям и сдвигу резонансной частоты.

Наконец, определим параметр  $\gamma_0$ , ответственный за насыщение нелинейных потерь. Из выражения (18) следует, что в малоамплитудном (при  $\mu_{nl}(\varepsilon_m)/\mu_p \ll 1$ ) и в сильноамплитудном режимах имеем соответственно следующие линейные зависимости  $\varepsilon_{m,1}$  и  $\varepsilon_{m,2}$  от  $A_0$ :

$$\varepsilon_{m,1} = 2A_0Q_p/L, \quad \varepsilon_{m,2} = \frac{2A_0Q_p/L}{1 + b_1Q_p}. \quad (33)$$

Из этих выражений находим  $b_1Q_p = \frac{\varepsilon_{m,1}}{\varepsilon_{m,2}} - 1$ . Из рис. 1 видно, что  $\varepsilon_{m,1}/\varepsilon_{m,2} = 2.75$  и, следовательно,

$$\gamma_0 = \frac{(\gamma_1 + \gamma_2 + \gamma_3 + \gamma_4)Q_1}{4\pi[(\varepsilon_{m,1}/\varepsilon_{m,2}) - 1]} \approx 10^6.$$

### Заключение

В настоящей работе проведены теоретические исследования нелинейных акустических эффектов в стержневом резонаторе с гистерезисной нелинейностью при его гармоническом возбуждении. При малых и больших амплитудах возбуждения резонатора (т. е. в режимах до и после насыщения) получены аналитические выражения для нелинейных потерь и сдвига резонансных частот, а также для амплитуд второй и третьей гармоник. Амплитудные зависимости этих эффектов свидетельствуют о сложной и разнообразной динамике нелинейных волновых процессов в резонаторах с гистерезисной нелинейностью. При малых амплитудах возбуждения резонатора нелинейная дисперсия гистерезисного материала приводит к нелинейной расстройке частоты третьей гармоники от соответствующего линейного резонанса,

а при больших — нелинейная дисперсия проявляется в том, что вынуждающая сила для колебаний на частоте третьей гармоники становится ортогональной собственной функции резонатора, что в итоге приводит к сильному падению амплитуды колебаний резонатора на этой частоте. В настоящей работе приведены результаты экспериментального исследования гистерезисных эффектов в резонаторе из отожженной поликристаллической меди, согласующиеся с аналитическими результатами (что, впрочем, неудивительно, так как гистерезисное уравнение состояния строилось на основе результатов экспериментов с материалами, в которых наблюдается насыщение нелинейных потерь). Из сравнения теоретических и экспериментальных результатов определены параметры гистерезисной нелинейности отожженной меди. Их значения оказались достаточно высокими, что позволяет надеяться на возможность измерения нелинейных эффектов в резонаторах и из других гистерезисных материалов даже при не очень больших амплитудах акустических волн.

## Список литературы

- [1] Назаров В.Е., Кияшко С.Б. // ЖТФ. 2014. Т. 84. Вып. 3. С. 1–7.
- [2] Ландау Л.Д., Лифшиц Е.М. Теория упругости. М.: Наука, 1965. 204 с.
- [3] Samsonov A.M. Strain Solution in Solids and how to construct them. London, NY: Chapman & Hall/CRC Press, Boca Raton, 2001.
- [4] Дрейден Г.В., Порубов А.В., Самсонов А.М., Семенова И.В. // ЖТФ. 2001. Т. 71. Вып. 5. С. 1–8.